

مدل ریاضی انتشار ترک هیدرولیکی در سنگ شکننده با درنظرگرفتن اثر اندرکنش (مضروبی) پارامترهای اینرسی و گرانزوی

علی عسگری (دکتری)

علی اکبر گلشنی * (استادیار)

دانشکده مهندسی عمران و محیط زیست، دانشگاه تربیت مدرس

علی لکی روحانی (استادیار)

دانشکده مهندسی عمران، دانشگاه زنجان

در این نوشتار، یک روش تحلیلی برای حل مسئله‌ی شکست هیدرولیکی در حالت کرنش صفحه‌ی برای سنگ شکننده‌ی نفوذناپذیر و سختی زیاد و تحت شرایط متقاض ارائه شده است. جریان سیال غیرقابل تراکم و آرام فرض شده و ترک در همه‌ی زمان‌ها کاملاً از سیال پر شده است. انتشار ترک در چارچوب مکانیک شکست خطی (LEFM) است. این

مسئله توسط گاراگاش در سال ۲۰۰۶ در مجله‌ی «Engineering Fracture Mechanics» بدون درنظرگرفتن اثر اندرکنش پارامترهای اینرسی و گرانزوی بررسی شده است. در این پژوهش با درنظرگرفتن اثر مذکور، بازشدگی، فشار داخلی سیال در ترک، و میزان رشد ترک تحت تزریق سیال از روش اغتشاش تعیین و نتایج این کار با استناد موجود مقایسه و بررسی شده است.

ali.asgari@modares.ac.ir
golshani@modares.ac.ir
rou001@znu.ac.ir

وازگان کلیدی: شکست هیدرولیکی، سنگ‌های شکننده، سختی، اندرکنش گرانزوی و اینرسی، روش اغتشاش.

۱. مقدمه

رژیم‌ها براساس مکانیزم هدررفت انرژی نامگذاری می‌شوند، که مهم‌ترین آن‌ها در شکست هیدرولیکی عبارت‌اند از: ۱. رژیم سختی که بیشترین هدررفت انرژی تولیدشده ناشی از تزریق سیال، پارامتر سختی محیط و سیستم است؛ ۲. رژیم گرانزوی که مقاومت سیال در مقابل جریان باعث هدررفت انرژی می‌شود. اگرچه در پژوهشی در سال ۱۹۸۵، یک روش عددی برای حل مسئله در یک رژیم مابین سختی و گرانزوی ارائه،^[۷] و بعدها روش مذکور در پژوهش دیگری در سال ۲۰۰۱^[۱۴] بازبینی شده است؛ ولی بسیاری از پژوهشگران برای ساده‌ترشدن تحلیل مسئله، آن را به صورت یکی از رژیم‌های سختی (هدررفت انرژی ناشی از چقمرنگی یا سختی بالای سنگ)،^[۱۷] یا گرانزوی (هدررفت انرژی ناشی از گرانزوی یا اینرسی بالای سیال)^[۱۵،۱۲،۱۱،۹] در نظر گرفته‌اند.

پژوهشگرانی نیز^[۱۶] رشد ترک هیدرولیکی را به صورت کرنش مسطوح تحت شرایط گرانزوی قابل اغماض بررسی و از حل خودمنشابه با فرض رژیم نیروی اینرسی سیال در مقایسه‌ی نیروی گرانزوی سیال استفاده کرده‌اند. همچنین برخی دیگر از پژوهشگران از این اینرسی سیال در رشد ترک هیدرولیکی صرف نظر کرده‌اند.^[۲۳] که در این شرایط می‌توان جریان سیال را با تحریک لزجت مدل کرد.^[۱۹]

در سال ۲۰۰۶ نیز، یک راه حل صریح برای انتشار ترک هیدرولیکی در رژیم سختی ارائه و فرض شده است که در تحلیل مذکور، انرژی اتلافی ناشی از جریان

مدل کردن شکست هیدرولیکی یکی از چالش برانگیزترین و مهم‌ترین مسئله در زمینه‌ی ژوتکنیک است، که پژوهشگران زیادی را از سال ۱۹۵۰ به خود جذب کرده است.^[۲۰] از طرف دیگر، با توجه به کاربردهای مهم از قبیل: تحریک مخازن زیرزمینی نفتی برای استحصال بیشتر نفت و گاز،^[۲۱] استخراج گرما از مخازن زمین گرمایی،^[۲۲] حفاری‌های ویژه در صنعت معدن، و دفن زباله‌های هسته‌ای و... مورد مطالعات جدی پژوهشگران قرار گرفته و مسئله ذکر شده را با جنبه‌های مختلف تحلیلی و عددی بررسی کرده‌اند.

اخیراً پژوهش‌های جدی و نلاش‌گرایانه‌ی بر روی چگونگی تأثیر پارامترهای مختلف در شکست هیدرولیکی در رژیم‌های مختلف با روش‌های تحلیلی و عددی بررسی شده است.^[۲۳-۲۶] بررسی با روش‌های تحلیلی و یا نیمه‌تحلیلی بر روی یک شکست با هندسه‌ی ساده (صفحه‌ی یا دیسک‌شکل) در یک سنگ هموزن با تشن برای یکنواخت بسیار پیچیده است، که به طبیعت مدل سازی ریاضی مسئله بر می‌گردد.^[۲۷] و ممکن است برای دست‌یابی به چنین حل‌هایی، نیاز به فرض کردن رشد شکست هیدرولیکی در یک رژیم خاص باشد.

* نویسنده مسئله
تاریخ: دریافت ۱۱/۶/۱۳۹۲، اصلاحیه ۷/۲۶، پذیرش ۱۳۹۳/۸/۴.

(رابطه‌ی ۱):

$$\frac{\partial}{\partial t} \int_x^\ell w dx = wv, \quad \int_0^\ell w dx = \frac{1}{2} V(t), \quad V(t) = \int_0^t Q dt. \quad (1)$$

۲.۲.۲ معادله‌ی حرکت سیال

فرض شده است که حرکت سیال در جهت رشد ترک امتداد یافته و جریان سیال در ترک آرام و سیال غیرقابل تراکم است (رابطه‌ی ۲):^[۲۰, ۲۱]

$$\frac{\partial v}{\partial t} + \frac{1}{2} \frac{\partial v^r}{\partial x} = -\frac{1}{\rho} \left(\frac{\partial P}{\partial x} + \frac{\mu' v}{w^r} \right) \quad (2)$$

با صرف نظر کردن از تم سمت چپ معادله‌ی روانسازی^۱، رابطه‌ی ۲ به معادله پویزنی^۲ به صورت رابطه‌ی ۳ در می‌آید:^[۱۹]

$$v = -\frac{w^r \frac{\partial P}{\partial x}}{\mu' v} \quad (3)$$

۲.۲.۳ معادله‌ی حالت کشسانی

این معادله، بازشده‌ی ترک را با فشار خالص سیال داخل ترک با یک رابطه‌ی انتگرالی مربوط می‌سازد. رابطه‌ی انتگرالی به شکل رابطه‌ی ۴ و به صورت یک معادله‌ی انتگرالی متفاوت است. فرض رابطه‌ی این است که ترک به شکل شبه استاتیکی رشد می‌کند:^[۲۱]

$$w(x, t) = \frac{4}{\pi E'} \int_0^l G\left(\frac{x}{\ell}, \frac{x'}{\ell}\right) P(x', t) dx',$$

$$G(\xi, \xi') = \ln \left| \frac{\sqrt{1 - \xi^2} + \sqrt{1 - \xi'^2}}{\sqrt{1 - \xi^2} - \sqrt{1 - \xi'^2}} \right|. \quad (4)$$

۲.۴.۲.۲ معیار انتشار ترک

مطابق با مکانیک شکست کشسان خطی برای مود شکست اول، $K_I = K_{IC}$ بازشده‌ی ترک در رأس با عبارت حدی ریشه‌ی دوم بیان می‌شود (رابطه‌ی ۵):^[۲۲]

$$w = \frac{K'}{E'} (\ell - x)^{1/2}, \quad \ell - x \ll \ell. \quad (5)$$

که در آن‌ها، E' , μ' و K' به این صورت است:

$$E' = \frac{E}{1 - v^r}, \quad \mu' = 12\mu, \quad K' = 4 \left(\frac{2}{\pi} \right)^{1/2} K_{IC}.$$

۲.۳. فرمول‌های بی‌بعد

برای ساده‌سازی حل معادلات ۱ الی ۵، یک سری تغییر متغیرهایی به صورت روابط ۶ استفاده شده است، که معادلات را بی‌بعد و مقیاس شده می‌کنند و در نتیجه حل مسئله ساده‌تر می‌شود:^[۲۳, ۱۷, ۲۴, ۲۵]

$$w(x, t) = \varepsilon(t) L(t) \Omega(\xi, t), \quad \ell(t) = L(t) \gamma(t),$$

$$P(x, t) = \varepsilon(t) E' \Pi(\xi, t), \quad \varepsilon(t) = L^{-1}(t) V(t),$$

$$v(x, t) = t^{-1} L(t) \vartheta(\xi, t), \quad \bar{\vartheta}(\xi, t) = \vartheta(\xi, t) / \gamma(t),$$

$$\bar{\Omega}(\xi, t) = \Omega(\xi, t) / \gamma(t) \quad (6)$$

که در آن‌ها، $\varepsilon \in [0, 1]$ ، $\xi = x/\ell(t)$ ، $\Omega(\xi, t)$ ، $\Pi(\xi, t)$ و γ به ترتیب مختصات مکانی، بازشده‌ی ترک، فشار خالص و نیم طول مقیاس شده‌ی ترک است. لازم به ذکر است که «علامت بار»، نشانه‌ی مقیاس سازی مجدد آن کمیت است.

سیال گازانروی در داخل ترک در مقایسه با انرژی اتلافی ناشی از سختی سنگ ناچیز است. همچنین، روش ارائه شده برای حل حالتی که پارامتر اینرسی در مقابل سختی سنگ کوچک باشد (مقیاس سختی)، بدکار رفته و درنهایت با استفاده از اصل برهم نهی و بدون درنظر گرفتن آثار اندرکنشی، مسئله در حالت گازانروی و اینرسی کوچک تحلیل شده است.^[۱۷] در این نوشتار با استفاده از روش اغتشاش این اثر در نظر گرفته شده است.

این نکته حائز اهمیت است که استخراج گرما از مخازن زمین‌گرمایی از طریق تزریق سیال با گازانروی کم اجسام می‌شود،^[۱۷] که ارتباط تحلیل مدل در این نوشتار با کاربرد شکست هیدرولیکی را در رژیم سختی تضمین می‌کند.

۲. فرمول‌بندی ریاضی

۲.۱.۲ تعریف مسئله

مطابق با شکل ۱، ترک هیدرولیکی به طول $2\ell(t)$ در یک محیط سنگی شکننده با مدول یانگ E ، ضربی پواسون ν و چفرمگی K_{IC} در نظر گرفته شده است. سیال با گازانروی μ و با دبی $Q(t)$ تزریق شده است، که باعث فشار داخلی $P_f(x, t)$ در سطوح ترک شده است. با توجه به اینکه محیط تحت تنش محدودکننده σ قرار دارد، در نتیجه فشار خالص در داخل ترک برابر با $P(x, t) = P_f(x, t) - \sigma$ است. تئوری مکانیک شکست کشسان خطی (LEFM) برای تعیین بازشده‌ی ترک $w(x, t)$ فشار خالص $P(x, t)$ و رشد ترک $\ell(t)$ بر حسب زمان t و مختصات محلی x به کار گرفته شده است.

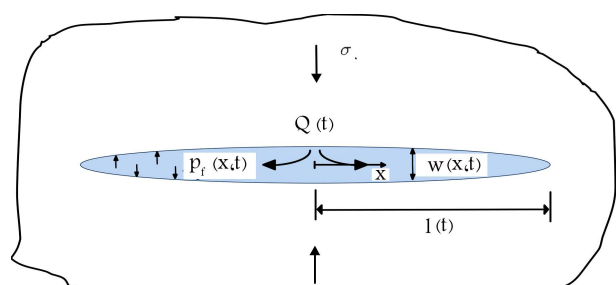
دیگر فرضیات مسئله و شرایط مرزی آن مطابق نوشتار گاراگاش،^[۱۷] در نظر گرفته شده است.

۲.۲. معادلات حاکم

معادلات حاکم در مدل شکست هیدرولیکی شامل معیار رشد ترک، معادله‌ی حالت کشسانی و معادله‌ی حرکت سیال می‌شوند. این معادلات بر حسب طول نیم ترک، $\ell \leq x \leq \ell + l(t)$ ، بازشده‌ی ترک، سرعت متوسط سیال، و فشار خالص سیال با درنظر گرفتن شکل متقاضی مدل بیان شده‌اند.

۲.۲.۱. پیوستگی و بقای جرم

جریان سیال در ترک با قانون بقای جرم و اندازه‌ی حرکت مدل می‌شود. در این حالت حجم سیال ورودی یا تزریقی ($V(t)$) برابر است با حجم بازشده‌ی ترک



شکل ۱. مدل شکست هیدرولیکی در حالت کرننس صفحه‌یی.

با بهکارگیری تغییر متغیرهای ذکر شده، معادلات ۱ الی ۵ به صورت معادلات ۷ الی ۱۰ در می آیند:

- معادله‌ی بقای جرم (معادله‌ی ۷):

$$\begin{aligned} \frac{t\dot{V}}{V} \int_{\xi}^{\bar{\Omega}} \bar{\Omega} d\xi + \frac{t\dot{L}}{L} \xi \bar{\Omega} + \Psi_T &= \bar{\Omega} \bar{\vartheta}, \\ \int_{\xi}^{\bar{\Omega}} \bar{\Omega} d\xi &= \frac{1}{2\gamma}, \\ \Psi_T &= t \int_{\xi}^{\bar{\Omega}} \left[\dot{\bar{\Omega}} + \frac{\dot{\gamma}}{\gamma} \left(\bar{\Omega} - \xi \frac{\partial \bar{\Omega}}{\partial \xi} \right) \right] d\xi. \end{aligned} \quad (7)$$

- معادله‌ی ممتم (معادله‌ی ۸):

$$\begin{aligned} -\frac{\partial \Pi}{\partial \xi} &= G_{\rho} \gamma \bar{\vartheta} \left[\frac{t\dot{L}}{L} \left(1 - \frac{\xi}{\bar{\vartheta}} \frac{\partial \bar{\vartheta}}{\partial \xi} \right) - 1 + \frac{\partial \bar{\vartheta}}{\partial \xi} + \Phi_T \right] + G_m \frac{\bar{\vartheta}}{\bar{\Omega}}, \\ \Phi_T &= \frac{t\dot{\gamma}}{\gamma} \left(1 - \frac{\xi}{\bar{\vartheta}} \frac{\partial \bar{\vartheta}}{\partial \xi} \right) + \frac{t\dot{\vartheta}}{\bar{\vartheta}}. \end{aligned} \quad (8)$$

- معادله‌ی حالت کشسانی و معیار انتشار ترک (معادله‌ی ۹):

$$\begin{aligned} \bar{\Omega}(\xi, t) &= L^{-1}\{\Pi\}(\xi, t) = \frac{1}{\pi} \int_{\xi}^{\bar{\Omega}} G(\xi, \xi') \Pi(\xi', t) d\xi', \\ \lim_{\xi \rightarrow 1} (1-\xi)^{-1/2} \bar{\Omega} &= G_k \gamma^{-1/2}. \end{aligned} \quad (9)$$

که در آن، $\bar{\Omega}$ اولین ترم اندرکنشی بین پارامترهای اینرسی و گرانزوی سیال است. با جایگذاری رابطه‌ی ۱۳ در معادلات ۷ الی ۹، و مرتب کردن آن‌ها براسان خواهیم داشت (روابط ۱۴ الی ۱۷):

-- ترم گرانزوی و اینرسی صفر ($f_0(\xi)$ (رابطه‌ی ۱۴))

$$1: \int_{\xi}^{\bar{\Omega}} \bar{\Omega} d\xi + \frac{2}{\gamma} \xi \bar{\Omega} - \bar{\Omega} \bar{\vartheta}_0 = 0,$$

$$2: \int_{\xi}^{\bar{\Omega}} \bar{\Omega} d\xi - 1 = 0,$$

$$\frac{\partial \Pi_0}{\partial \xi} = 0,$$

$$\bar{\Omega}_0(\xi) = L^{-1}\{\Pi_0\}(\xi),$$

$$\lim_{\xi \rightarrow 1} (1-\xi)^{-1/2} \bar{\Omega}_0 = \gamma^{-1/2}. \quad (14)$$

-- ترم گرانزوی کوچک و اینرسی صفر ($f_1(\xi)$ (رابطه‌ی ۱۵))

$$\begin{aligned} G_{\mu}: & \left(-\bar{\Omega}_0 \bar{\vartheta}_0 + \frac{2}{\gamma} \xi \bar{\Omega}_0 + \int_{\xi}^{\bar{\Omega}} \bar{\Omega} d\xi \right) \gamma_0 \\ & + \left(-\bar{\Omega}_0 \bar{\vartheta}_{1\mu} - \bar{\Omega}_{1\mu} \bar{\vartheta}_0 + \frac{2}{\gamma} \xi \bar{\Omega}_{1\mu} + \int_{\xi}^{\bar{\Omega}} \bar{\Omega}_{1\mu} d\xi \right) \gamma_1 = 0, \end{aligned}$$

این پارامترها بعده هستند و به آن پارامترهای مقیاس شده می‌گویند. برای توضیحات بیشتر در مورد پارامترها و روابط بین آن‌ها می‌توان به نوشتار گاراگاش، [۱۷] رجوع کرد.

در صورتی که مقیاس سختی مدنظر باشد، آنگاه $G_k = 1$; و اگر مقیاس گرانزوی و یا اینرسی ملاک باشد، آنگاه به ترتیب $G_{\mu} = 1$ و $G_{\rho} = 1$ در نظر گرفته می‌شوند.

درنهایت، پارامترهای $t\dot{V}/V$ و $t\dot{L}/L$ در معادلات ۷ و ۸ را می‌توان با اپراتور زمان مطابق با بهکارگیری رابطه‌ی ۱۱ جایگزین کرد:

$$t \frac{\partial}{\partial t} = \left(\frac{t\dot{G}_k}{G_k} \right) G_k \frac{\partial}{\partial G_k} + \left(\frac{t\dot{G}_{\mu}}{G_{\mu}} \right) G_{\mu} \frac{\partial}{\partial G_{\mu}} + \left(\frac{t\dot{G}_{\rho}}{G_{\rho}} \right) G_{\rho} \frac{\partial}{\partial G_{\rho}} \quad (11)$$

که در آن علامت نقطه در بالای پارامترهای مقیاسی به منظور مشتق آن نسبت به زمان t است.

$$\begin{aligned} & \left(\frac{\partial \bar{\vartheta}_\circ}{\partial \xi} - \frac{1}{\gamma_\circ} \right) \bar{\vartheta}_\circ \bar{\Omega}_\circ^\circ \gamma_\circ^\circ + 2 \frac{\partial \Pi_\circ}{\partial \xi} (\bar{\Omega}_\circ + \bar{\Omega}_{\circ\mu}) \bar{\Omega}_{\circ\rho} - \frac{\partial \Pi_{\circ\rho}}{\partial \xi} \bar{\Omega}_\circ^\circ \\ & - \frac{2}{\gamma_\circ} \frac{\partial \bar{\vartheta}_\circ}{\partial \xi} \xi \bar{\Omega}_\circ^\circ \gamma_\circ^\circ + \bar{\vartheta}_{\circ\rho} - \frac{4}{\gamma_\circ} \bar{\Omega}_\circ^\circ \frac{\partial \bar{\vartheta}_\circ}{\partial \xi} \xi \gamma_\circ \gamma_{\circ\mu} \\ & - \frac{2}{\gamma_\circ} \bar{\Omega}_\circ^\circ \frac{\partial \bar{\vartheta}_{\circ\mu}}{\partial \xi} \xi \gamma_\circ^\circ - \frac{4}{\gamma_\circ} \bar{\Omega}_\circ \bar{\Omega}_{\circ\mu} \frac{\partial \bar{\vartheta}_\circ}{\partial \xi} \xi \gamma_\circ^\circ + \frac{\partial \Pi_{\circ\mu\rho}}{\partial \xi} \bar{\Omega}_\circ^\circ \\ & + 2 \frac{\partial \Pi_{\circ\mu}}{\partial \xi} \bar{\Omega}_\circ \bar{\Omega}_{\circ\rho} - \frac{1}{\gamma_\circ} \bar{\Omega}_\circ^\circ \bar{\vartheta}_\circ \gamma_\circ \gamma_{\circ\mu} - 2 \bar{\Omega}_\circ \bar{\Omega}_{\circ\mu} \bar{\vartheta}_\circ \gamma_\circ^\circ \\ & \left(\frac{1}{\gamma_\circ} + \frac{\partial \bar{\vartheta}_\circ}{\partial \xi} \right) + 2 \frac{\partial \Pi_{\circ\rho}}{\partial \xi} \bar{\Omega}_\circ \bar{\Omega}_{\circ\mu} + 2 \bar{\Omega}_\circ^\circ \bar{\vartheta}_\circ \frac{\partial \bar{\vartheta}_\circ}{\partial \xi} \gamma_\circ \gamma_{\circ\mu} \\ & + 2 \frac{\partial \Pi_\circ}{\partial \xi} \bar{\Omega}_\circ \bar{\Omega}_{\circ\mu\rho} - \frac{1}{\gamma_\circ} \bar{\Omega}_\circ^\circ \bar{\vartheta}_{\circ\mu} \gamma_\circ^\circ + \bar{\Omega}_\circ^\circ \bar{\vartheta}_\circ \frac{\partial \bar{\vartheta}_{\circ\mu}}{\partial \xi} \gamma_\circ^\circ \\ & + \bar{\Omega}_\circ^\circ \bar{\vartheta}_{\circ\mu} \frac{\partial \bar{\vartheta}_\circ}{\partial \xi} \gamma_\circ^\circ = 0, \end{aligned}$$

$$\bar{\Omega}_{\circ\mu\rho}(\xi) = L^{-1}\{\Pi_{\circ\mu\rho}\}(\xi),$$

$$\begin{aligned} \gamma_{\circ\mu\rho} &= \lim_{\xi \rightarrow 1} \left(-\frac{2\bar{\Omega}_{\circ\rho}\gamma_\circ^\circ}{\bar{\Omega}_\circ} - \frac{2\bar{\Omega}_{\circ\rho}\bar{\Omega}_{\circ\mu}\gamma_\circ}{\bar{\Omega}_\circ^\circ} \right. \\ &\quad \left. - \frac{2\bar{\Omega}_{\circ\mu}\gamma_\circ^\circ}{\bar{\Omega}_\circ} - \frac{2\bar{\Omega}_{\circ\mu}\gamma_{\circ\rho}}{\bar{\Omega}_\circ} \right). \end{aligned} \quad (17)$$

دسته‌ی معادلات انتگرالی - دیفرانسیلی ذکرشده (رابطه ۱۷) به صورت متوالی از رابطه‌های ۱۴ الی ۱۷ حل می‌شوند. برای مختصرسازی در اینجا از آوردن جزئیات و روند حل صرف‌نظر شده است (رابطه‌ی ۱۸ الی ۲۰):

$$\begin{aligned} \bar{\Omega}_\circ &= \frac{1}{\gamma_\circ} \pi^{1/2} \sqrt{1-\xi^2}, & \Pi_\circ &= \frac{\pi^{1/2}}{\lambda}, \\ \bar{\vartheta}_\circ &= \frac{1}{\xi} \xi + \frac{1}{2} \frac{\cos^{-1}(\xi)}{\sqrt{1-\xi^2}}, & \gamma_\circ &= \frac{2}{\pi^{1/2}}. \end{aligned} \quad (18)$$

$$\begin{aligned} \Pi_{\circ\mu} &= -\frac{2 \arccos(\xi) \xi}{\pi^{1/2} \sqrt{1-\xi^2}} + \frac{\ln(1-\xi^2)}{\pi^{1/2}} + \frac{\ln(\xi^2-1)}{3\pi^{1/2}} \\ &+ \frac{1+4\lambda \ln(2)}{9\pi^{1/2}} \end{aligned} \quad (19)$$

$$\begin{aligned} \bar{\Omega}_{\circ\mu} &= \frac{\lambda}{3\pi^{1/2}} \left(2\pi - 4\xi \arcsin(\xi) - \left(\frac{5}{6} - \ln 2 \right) \sqrt{1-\xi^2} \right. \\ &\quad \left. - \frac{2}{\gamma_\circ} \ln \left(\frac{1+\sqrt{1-\xi^2}+\sqrt{1-\xi^2}}{1-\sqrt{1-\xi^2}-\sqrt{1-\xi^2}} \right) \right), \end{aligned}$$

$$\gamma_{\circ\mu} = -2/722.$$

...

$$\begin{aligned} \Pi_{\circ\rho} &= -\frac{2 \ln(2)}{\pi^{1/2}} + \frac{5}{18} \frac{\xi^2}{\pi^{1/2}} + \frac{1}{6} \frac{(1+2\xi^2) \arccos(\xi)^2}{\pi^{1/2} (\xi^2-1)} \\ &+ \frac{\arccos(\xi) \xi}{\pi^{1/2} \sqrt{1-\xi^2}} + 0.195207, \\ \gamma_{\circ\rho} &= 0.166199. \end{aligned} \quad (20)$$

برای تعیین ترم‌های ذکرشده‌ی ($\bar{\vartheta}_\circ$, $\bar{\Omega}_\circ$, $\bar{\Omega}_{\circ\mu}$, $\bar{\Omega}_{\circ\rho}$, $\bar{\vartheta}_{\circ\mu}$, $\bar{\vartheta}_{\circ\rho}$)، برنامه‌ی با نرم‌افزار Maple نوشته شده است. بدلیل پیچیدگی حل ترم اندرکنشی ($\bar{\Omega}_{\circ\mu\rho}$) وجود انتگرال‌های منفرد، استفاده از حل عددی الگامی بوده است.

بنابراین برای حل چنین انتگرال‌هایی از یک روش عددی استفاده می‌شود. در این مرحله با تعیین ترم‌های مختلف، می‌توان به حل کلی مسئله دست یافت؛ به طور

$$\begin{aligned} 2\gamma_{\circ\mu} \int_0^1 \bar{\Omega}_\circ d\xi + \gamma_\circ \int_0^1 \bar{\Omega}_{\circ\mu} d\xi &= 0, \\ 2 \frac{\partial \Pi_\circ}{\partial \xi} \bar{\Omega}_\circ \bar{\Omega}_{\circ\mu} + \frac{\partial \Pi_{\circ\mu}}{\partial \xi} \bar{\Omega}_\circ^\circ \bar{\Omega}_{\circ\mu} + \bar{\vartheta}_\circ &= 0, \\ \bar{\Omega}_{\circ\mu}(\xi) &= L^{-1}\{\Pi_{\circ\mu}\}(\xi), \\ \lim_{\xi \rightarrow 1} (1-\xi)^{-1/2} \bar{\Omega}_{\circ\mu} &= -\frac{1}{\gamma_\circ} \gamma_{\circ\mu} \gamma_\circ^{-1/2}. \end{aligned} \quad (15)$$

-- ترم گرانوی صفر و اینرسی کچک ($f_{\circ\rho}^\rho(\xi)$) (رابطه‌ی ۱۶):

$$\begin{aligned} G_\rho : & \left(-\bar{\Omega}_{\circ\rho} \bar{\vartheta}_\circ + \frac{2}{\gamma_\circ} \int_\xi^1 \bar{\Omega}_\circ d\xi + \frac{2}{\gamma_\circ} \xi \bar{\Omega}_\circ - \bar{\Omega}_\circ \bar{\vartheta}_\circ \right. \\ & \quad \left. + \frac{1}{\gamma_\circ} \int_\xi^1 \xi \frac{\partial \bar{\Omega}_\circ}{\partial \xi} d\xi \right) \gamma_{\circ\rho} + \left(-\bar{\Omega}_{\circ\rho} \bar{\vartheta}_\circ + \frac{2}{\gamma_\circ} \int_\xi^1 \bar{\Omega}_{\circ\rho} d\xi \right. \\ & \quad \left. + \frac{2}{\gamma_\circ} \xi \bar{\Omega}_{\circ\rho} - \bar{\Omega}_\circ \bar{\vartheta}_{\circ\rho} \right) \gamma_\circ = 0, \\ \frac{\partial \Pi_{\circ\rho}}{\partial \xi} &= \frac{1}{\gamma_\circ} \gamma_\circ^\circ (2\xi - 2\bar{\vartheta}_\circ) \left(\frac{\partial \bar{\vartheta}_\circ}{\partial \xi} \right) + \frac{1}{\gamma_\circ} \gamma_\circ^\circ \bar{\vartheta}_\circ - 2 \frac{\partial \Pi_\circ}{\partial \xi} \frac{\bar{\Omega}_{\circ\rho}}{\bar{\Omega}_\circ}, \end{aligned}$$

$$2\gamma_{\circ\rho} \int_0^1 \bar{\Omega}_\circ d\xi + \gamma_\circ \int_0^1 \bar{\Omega}_{\circ\rho} d\xi = 0,$$

$$\bar{\Omega}_{\circ\rho}(\xi) = L^{-1}\{\Pi_{\circ\rho}\}(\xi),$$

$$\gamma_{\circ\rho} = \lim_{\xi \rightarrow 1} \left(-\frac{2\bar{\Omega}_{\circ\rho}\gamma_\circ^\circ}{\bar{\Omega}_\circ} \right). \quad (16)$$

-- ترم اندرکنش ($f_{\circ\rho}^{\mu\rho}(\xi)$) (رابطه‌ی ۱۷):

$$\begin{aligned} G_\mu G_\rho : & \left(\frac{2}{\gamma_\circ} \int_\xi^1 \bar{\Omega}_{\circ\mu\rho} d\xi - \bar{\Omega}_\circ \bar{\vartheta}_{\circ\mu\rho} - \bar{\Omega}_{\circ\mu} \bar{\vartheta}_{\circ\rho} - \bar{\Omega}_{\circ\rho} \bar{\vartheta}_{\circ\mu} - \bar{\Omega}_{\circ\mu\rho} \bar{\vartheta}_\circ \right. \\ & \quad \left. + \frac{2}{\gamma_\circ} \xi \bar{\Omega}_{\circ\mu\rho} \right) \gamma_\circ + \left(\frac{2}{\gamma_\circ} \xi \bar{\Omega}_{\circ\mu} + \frac{2}{\gamma_\circ} \int_\xi^1 \bar{\Omega}_{\circ\mu} d\xi \right. \\ & \quad \left. + \frac{1}{\gamma_\circ} \int_\xi^1 \xi \frac{\partial \bar{\Omega}_{\circ\mu}}{\partial \xi} d\xi - \bar{\Omega}_\circ \bar{\vartheta}_{\circ\mu} - \bar{\Omega}_{\circ\mu} \bar{\vartheta}_\circ \right) \gamma_{\circ\rho} \\ & + \left(-\bar{\Omega}_\circ \bar{\vartheta}_\circ + \frac{2}{\gamma_\circ} \xi \bar{\Omega}_\circ + \frac{2}{\gamma_\circ} \int_\xi^1 \bar{\Omega}_\circ d\xi \right. \\ & \quad \left. + \frac{1}{\gamma_\circ} \int_\xi^1 \xi \frac{\partial \bar{\Omega}_\circ}{\partial \xi} d\xi \right) \gamma_{\circ\mu} + \left(-\bar{\Omega}_\circ \bar{\vartheta}_{\circ\mu} - \bar{\Omega}_{\circ\mu} \bar{\vartheta}_\circ \right. \\ & \quad \left. + \frac{2}{\gamma_\circ} \xi \bar{\Omega}_{\circ\mu} + \frac{2}{\gamma_\circ} \int_\xi^1 \bar{\Omega}_{\circ\mu} d\xi \right) \gamma_\circ = 0, \end{aligned}$$

$$\begin{aligned} \frac{1}{\gamma_\circ} \gamma_\circ^\circ \int_0^1 \bar{\Omega}_{\circ\mu\rho} d\xi + \gamma_\circ \gamma_{\circ\mu} \int_0^1 \bar{\Omega}_{\circ\rho} d\xi + \gamma_\circ \gamma_{\circ\rho} \int_0^1 \bar{\Omega}_{\circ\mu} d\xi \\ + \gamma_\circ \gamma_{\circ\mu\rho} \int_0^1 \bar{\Omega}_\circ d\xi + \gamma_{\circ\mu} \gamma_{\circ\rho} \int_0^1 \bar{\Omega}_\circ d\xi = 0, \end{aligned}$$

نشان می‌دهد. با توجه به شکل مذکور، طول نیم‌ترک با افزایش گرانروی کاهش و در صورت افزایش پارامتر اینرسی در حالت گرانروی پایین $\gamma = 1$ ، G_μ ، افزایش یافته و در مقادیر بزرگ‌تری از گرانروی، افزایش پارامتر اینرسی منجر به کاهش طول نیم‌ترک شده است. از طرف دیگر، اثر کاهندهٔ پارامتر گرانروی بیشتر از اثر افزایندهٔ اینرسی است؛ بنابراین می‌توان نتیجه گرفت که آثار گرانروی سیال در فرایند تزریق شکسته هیدرولیکی بیشتر از آثار پارامتر اینرسی است.

شکل ۴، مقایسه‌ی بین بازشدنگی مقیاس‌شدهٔ مجدد ($\bar{\Omega}$)، و فشار خالص سیال داخل ترک (II)، با درنظرگرفتن اثر ترم اندرکنشی (این پژوهش) و بدون این اثر^[۱۷] را نشان می‌دهد. در شکل مذکور به خوبی مشاهده می‌شود که درنظرگرفتن ترم مضربوبی تا چه اندازه می‌تواند مؤثر باشد.

شکل ۵، میران بازشدنگی ($\bar{\Omega} = \gamma\bar{\Omega}$)، و فشار خالص سیال (II) مقیاس‌شدهٔ ترک از حل مرتبهٔ ۰، ۱، را با درنظرگرفتن اثر اندرکنش برای مقادیر مختلفی از پارامترهای اینرسی سیال (G_μ) و گرانروی سیال (G_ρ) نشان می‌دهد.
با توجه به شکل ۵‌الف، فشار خالص در جهت رشد ترک در حالت یک سیال با گرانروی ناچیز و بدون اینرسی $G_\rho = 0$ ، کاهش می‌یابد. در صورتی که در یک سیال غرگرانروی و با اینرسی پایین، روند فشار خالص به صورت افزایشی خواهد بود (شکل ۵‌ب). این اثر مطابق با قاعده‌ی برنولی قابل توجیح است.^[۱۸]

درنظرگرفتن اثر تؤام اینرسی و گرانروی باعث می‌شود که یک مقدار بینشیه در روند منحنی فشار - مکان به وجود آید (شکل ۵‌الف). در این صورت در

مثال، میران بازشدنگی ترک از رابطهٔ ۲۱ تعیین شده است:

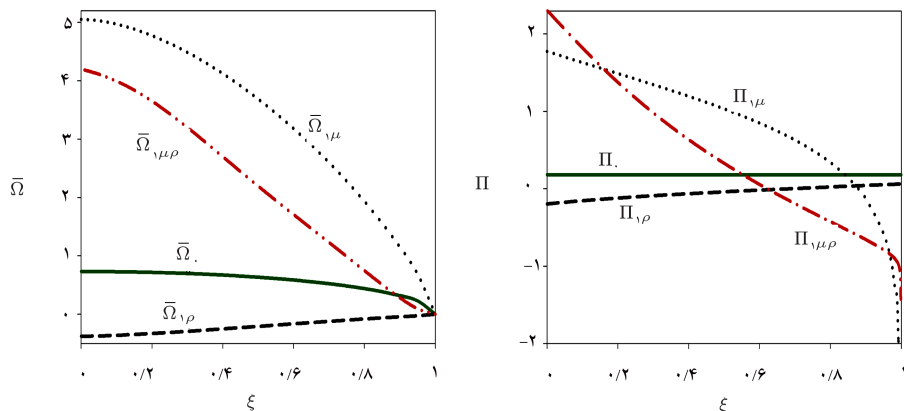
$$\Omega(\xi, G_i) = (\bar{\Omega}_0 + G_\mu \bar{\Omega}_1^\mu + G_\rho G_\mu \bar{\Omega}_1^{\mu\rho} + \dots) \times (\gamma_0 + G_\mu \gamma_1^\mu + G_\rho \gamma_1^\rho + G_\mu G_\rho \gamma_1^{\mu\rho} + \dots) \quad (21)$$

۵. بحث و نتایج

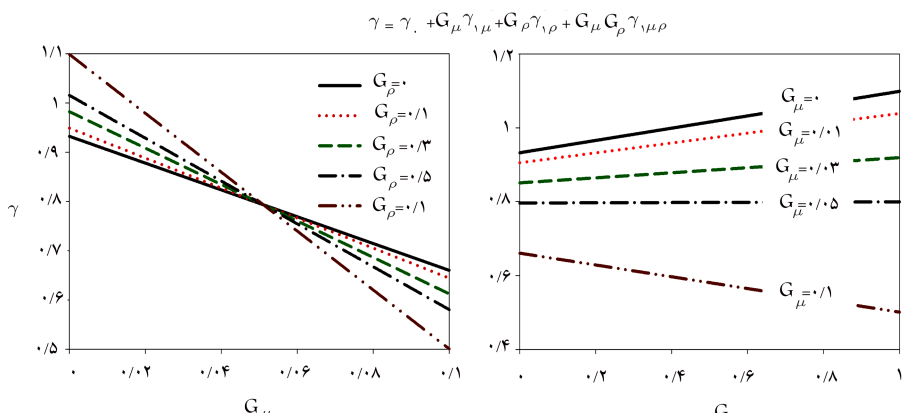
در این نوشتار راه حل کلی مسئله با درنظرگرفتن اندرکنش بین پارامترهای اینرسی و گرانروی ارائه شده است. بنابراین اگر یکی از پارامترهای اینرسی و یا گرانروی صفر در نظر گرفته شود، آنگاه هیچ اندرکنشی بین پارامترها وجود ندارد و به حل ارائه شده در نوشته‌گاراگاش،^[۱۷] متفقی می‌شود.

شکل ۲، ترم‌های مرتبه‌ی صفر، اول، و مضربوبی (ترم اندرکنشی) از بازشدنگی مقیاس‌شدهٔ مجدد ($\bar{\Omega}$)، و فشار خالص سیال داخل ترک را نشان می‌دهد. همانطور که در پخش پیشین اشاره شده است، در این پژوهش، بدليل پیچیدگی دسته‌ی معادلات مربوط به ترم‌های اندرکنشی، بهنچار از روش‌های عددی استفاده شده است. برای حل این معادلات انتگرالی، از روش نیوتون - کاتز و نقاط میانی و همچنین Maple از روش سعی و خطأ استفاده شده است. کد عددی این روش‌ها در نرم افزار قابل دسترسی است.

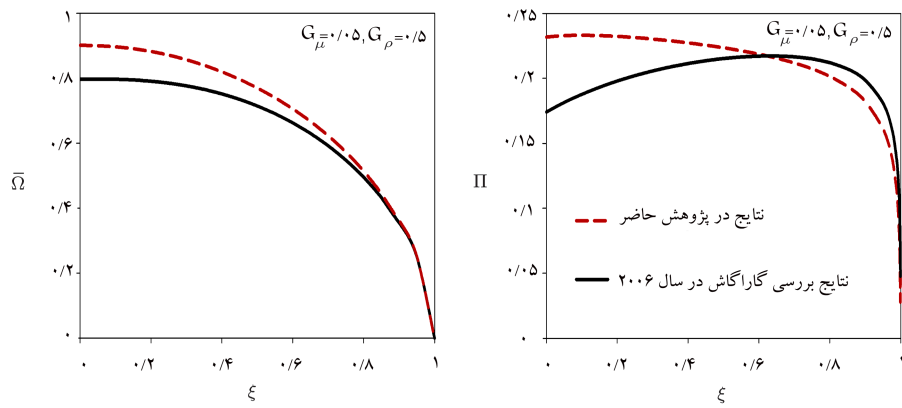
شکل ۳، روند تغییرات طول نیم‌ترک (γ)، بر حسب مقادیر مختلفی از گرانروی $\{0, 0.1, 0.2, 0.3, 0.4, 0.5, 0.6, 0.7, 0.8, 0.9, 1\}$ ، و اینرسی $G_\rho = \{0, 0.1, 0.2, 0.3, 0.4, 0.5, 0.6, 0.7, 0.8, 0.9, 1\}$ را با درنظرگرفتن اثر اندرکنش بین پارامترهای ذکرشده



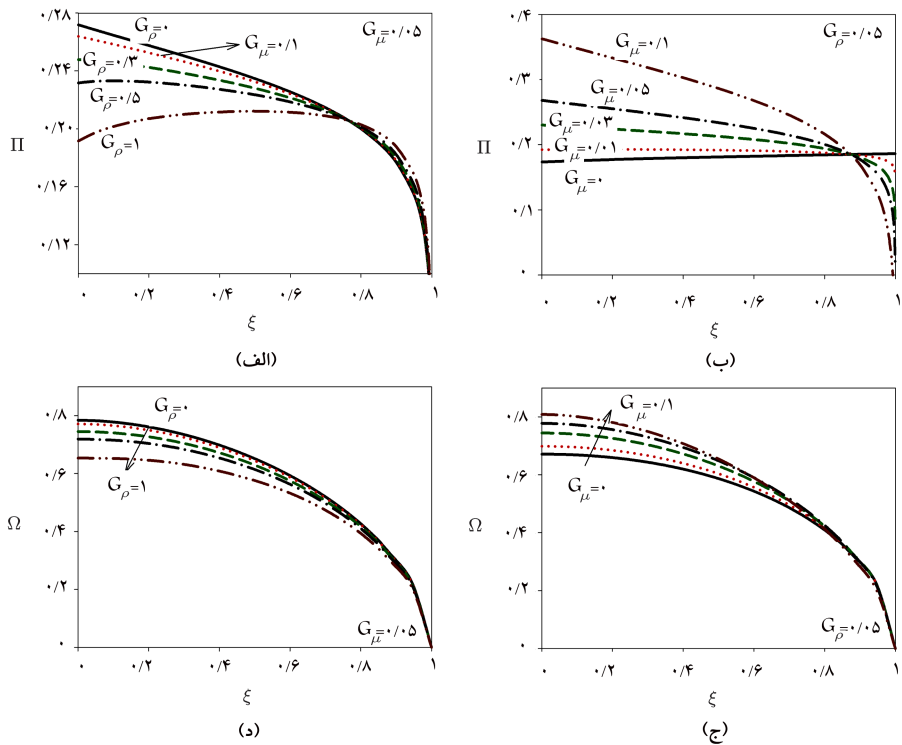
شکل ۲. ترم‌های مرتبه‌ی صفر، اول، و مضربوبی (ترم اندرکنشی) از بازشدنگی مقیاس‌شدهٔ مجدد ($\bar{\Omega}$)، و فشار خالص سیال داخل ترک.



شکل ۳. روند تغییرات طول نیم‌ترک (γ)، بر حسب مقادیر مختلفی از پارامترهای گرانروی (G_μ)، و اینرسی (G_ρ)، با درنظرگرفتن اثر اندرکنشی.



شکل ۴. مقایسه‌ی بازشدگی مقیاس‌شده‌ی مجدد ($\bar{\Omega}$)، و فشار خالص سیال داخل ترک (II)، با درنظرگرفتن اثر اندرکنش بین پارامترهای گرانزوی و اینرسی (این پژوهش) و بدون اثر اندرکنشی.^[۱۷]



شکل ۵. روند تعییرات بازشدگی ترک ($\gamma\bar{\Omega} = \Omega$)، و فشار خالص سیال داخل ترک (II)، بر حسب مقادیر مختلفی از پارامترها گرانزوی (G_μ)، و اینرسی (G_ρ)، با درنظرگرفتن اثر اندرکنشی.

۶. نتیجه‌گیری

در این پژوهش، روش تحلیلی اغتشاش برای تعیین میزان انتشار، بازشدگی و فشار سیال داخلی ترک در سنگ‌های شکننده در حالت کریش صفحه‌بی ارائه شده است. اثر اندرکنش پارامترهای گرانزوی و اینرسی در میزان رشد و بازشدگی ترک برای مقادیر مختلفی از G_μ و G_ρ لحاظ شده است. از این روش می‌توان برای درنظرگرفتن اثر سختی ($G_k \neq 1$) در رژیم‌های مختلف دیگر نیز استفاده کرد. در مطالعات آلتی، برای تعیین حل کلی تری از رژیم‌های ترکیبی سختی و گرانزوی (مطابق با رابطه‌ی ۱۲)، از روش اغتشاش با توجه به کارآمدبودن آن استفاده خواهد شد.

سطح پُرفشار ترک (اطراف محل بیشینه‌ی فشار)، میزان بازشدگی ترک تمايل به افزایش دارد، که نهایتاً شکل بازشدگی در مقادیر بالاتری از G_μ شبیه قطره‌ی اشک می‌شود. افزایش اثر پارامتر اینرسی موجب کاهش فشار در اطراف محل تزریق و میانه‌ی ترک و افزایش فشار در اطراف نوک می‌شود، در حالی که با افزایش گرانزوی اختلاف بین فشار نوک و محل تزریق در یک اینرسی ثابت افزایش می‌یابد. با توجه به شکل‌های ۵ و ۵، افزایش پارامتر اینرسی و گرانزوی به ترتیب باعث کاهش و افزایش میزان بازشدگی مقیاس‌شده در ترک می‌شود. ممکن است این نتیجه بهدلیل وجود ترم اندرکنشی برای مقادیر دیگری از G_μ و G_ρ تعییر کشند.

تقدیر و تشکر

نویسنده‌گان از راهنمایی‌های ارزنده‌ی پروفسور دمیتری گاراگاش از دانشگاه Dal-housie کانادا برای واضح‌تر شدن روند این پژوهش سپاسگزارند.

فهرست علائم

پارامترهای مسئله

E : مدول یانگ;

v : ضریب پواسن;

ρ : جرم مخصوص سیال;

μ : گرانروی دینامیکی;

K_{IC} : چقرمگی;

E' : مدول یانک مؤثر - کرنش صفحه‌یی;

μ' : گرانروی مؤثر;

K' : سختی مؤثر سنگ;

σ : تنش محدودکننده محیطی;

$Q(t)$: دبی سیال ورودی;

Φ_T, Ψ_T : ترم‌های گذراي معادلات پيوستگي و ممتمم;

پارامترهای مقیاس شده

L : طول مقیاسی ترک;

ϵ : پارامتر مقیاسی کوچک;

$f(\xi)$: حل مقیاس شده;

$f_0(\xi)$: حل مرتبه‌ی صفر؛

$f_{1\mu}(\xi)$: ترم مرتبه‌ی اول با گرانروی؛

$f_{1\rho}(\xi)$: ترم مرتبه‌ی اول با اینرسی؛

$f_{1\mu\rho}(\xi)$: ترم مرتبه‌ی اول اندرکنشی.

پابلوشتهای

1. lubrication approximation
2. Poiseuille equation
3. perturbation method (PM)

منابع (References)

1. Geertsma, J. and De Klerk, F. "A rapid method of predicting width and extent of hydraulically induced fractures", *Journal of Petroleum Technology*, **21**(12), pp. 1571-1581 (1969).
2. Kristianovitch, S. and Zheltov, Y. "Formation of vertical fractures by means of highly viscous fluids", in: *Proceedings of the 4th World Petroleum Congress*, pp. 579 (1955).
3. Nilson, R.H. "Gas-driven fracture propagation", *J. Appl. Mech., United States*, **48**(4), pp. 757-762 (1981).
4. Economides, M.J., Nolte, K.G. and Ahmed, U., *Reservoir Stimulation*, Wiley Chichester (2000).
5. Spence, D.A. and Turcotte, D.L. "Magma driven propagation of cracks", *Journal of Geophysical Research: Solid Earth*, **90**(B1), pp. 575-580 (1985).
6. Detournay, E. and Garagash, D. "The near-tip region of a fluid-driven fracture propagating in a permeable elastic solid", *Journal of Fluid Mechanics*, **494**, pp. 1-32 (2003).
7. Spence, D. and Sharp, P. "Self-similar solutions for elastohydrodynamic cavity flow", *Proceedings of the Royal Society of London, A. Mathematical and Physical Sciences*, **400**(1819), pp. 289-313 (1985).
8. Lister, J.R. "Buoyancy-driven fluid fracture: The effects of material toughness and of low-viscosity precursors", *J. of Fluid Mech.*, **210**, pp. 263-280 (1990).
9. Carbonell, R., Desroches, J. and Detournay, E. "A comparison between a semi-analytical and a numerical solution of a two-dimensional hydraulic fracture", *International Journal of Solids and Structures*, **36**(31-32), pp. 4869-4888 (1999).
10. Savitski, A. and Detournay, E. "Propagation of a penny-shaped fluid-driven fracture in an impermeable rock: Asymptotic solutions", *International Journal of Solids and Structures*, **39**(26), pp. 6311-6337 (2002).
11. Garagash, D.I. and Detournay, E. "Plane-strain propagation of a fluid-driven fracture: Small toughness solution", *Journal of Applied Mechanics*, **72**(6), pp. 916-928 (2005).
12. Garagash, D. and Detournay, E. "Viscosity-dominated regime of a fluid-driven fracture in an elastic medium", in: IUTAM Symposium on Analytical and Computa-

- tional Fracture Mechanics of Non-Homogeneous Materials, Springer, pp. 25-29 (2002).
13. Garagash, D. and Detournay, E. "An analysis of the influence of the pressurization rate on the borehole breakdown pressure", *International Journal of Solids and Structures*, **34**(24), pp. 3099-3118 (1997).
 14. Adachi, J.I., *Fluid-Driven Fracture in Permeable Rock*, In University of Minnesota, 162 p. (2001).
 15. Adachi, J. and Detournay, E. "Self-similar solution of a plane-strain fracture driven by a power-law fluid", *International Journal for Numerical and Analytical Methods in Geomechanics*, **26**(6), pp. 579-604 (2002).
 16. Adachi, J.I. and Detournay, E. "Plane strain propagation of a hydraulic fracture in a permeable rock", *Engineering Fracture Mechanics*, **75**(16), pp. 4666-4694 (2008).
 17. Garagash, D.I. "Plane-strain propagation of a fluid-driven fracture during injection and shut-in: Asymptotics of large toughness", *Engineering Fracture Mechanics*, **73**(3), pp. 456-481 (2006).
 18. Huang, N., Szewczyk, A. and Li, Y. "Self-similar solution in problems of hydraulic fracturing", *Journal of Applied Mechanics*, **57**(4), pp. 877-881 (1990).
 19. Batchelor, G., *An Introduction to Fluid Dynamics*, Cambridge Univ. Press, Bentley House, London (1967).
 20. Shapiro, R.A., *The Dynamics and Thermodynamics of Compressible Fluid Flow*: **2**, New York, Ronald Press Co., 1185 p. (1954).
 21. Sneddon, I.N., Lowengrub, M. and Mathematician, P., *Crack Problems in the Classical Theory of Elasticity*, Wiley New York, 221 pp. (1969).
 22. Rice, J.R., *Mathematical Analysis in the Mechanics of Fracture*, Chapter 3 of Fracture: An Advanced Treatise, **2**, Mathematical Fundamentals, Academic Press, N.Y., pp. 191-311 (1968).
 23. Detournay, E. "Propagation regimes of fluid-driven fractures in impermeable rocks", *International Journal of Geomechanics*, **4**(1), pp. 35-45 (2004).
 24. Garagash, D.I. "Propagation of a plane-strain hydraulic fracture with a fluid lag: Early-time solution", *International Journal of Solids and Structures*, **43**(18-19), pp. 5811-5835 (2006).
 25. Van Dyke, M.D., *Perturbation Methods in Fluid Dynamics*, Parabolic Press (1975).